

FP-tree 연관 규칙 탐사 알고리즘의 구현 및 성능 특성

이 형 봉
강릉대학교 컴퓨터공학과
e-mail : hblee@kangnung.ac.kr

An Implementation and Performance Characteristics of the FP-tree Association Rules Mining Algorithm

Hyung-Bong Lee
Dept. of Computer Science & Engineering, Kangnung National University

요 약

FP-tree(Frequent Pattern Tree) 연관 규칙 탐사 알고리즘은 DB 스캔에 대한 부담을 획기적으로 절감시킴으로써 전체적인 성능을 향상시키고자 제안되었다. 그런데, FP-tree 는 DB 에 저장된 거래 내용 중 빈발 항목을 포함하는 모든 거래를 트리에 저장해야 하기 때문에 그만큼 많은 메모리를 필요로 한다. 이 논문에서는 범용 운영체제인 유닉스 시스템을 사용해서 메모리 사용 측면에서 F.P. Tree 알고리즘의 타당성과 이에 따른 성능 특성을 관찰하였다. 그 결과, F.P. Tree 알고리즘은 현대 컴퓨터에서 보편화된 512MB~1GB 의 주메모리 시스템에서 무리는 없으나, 메모리 소요량이 DB 의 크기나 빈발 항목 집합의 수 보다는 거래의 길이 등 DB 의 특성에 따라 급격하게 증가하는 것으로 나타났다.

1. 서론

가장 알기 쉬운 연관 규칙 탐사 알고리즘은 전체 항목 집합에 대한 모든 부분 집합에 대응되는 계수 공간을 마련한 후, DB 에 저장된 각각의 거래를 읽어 거기에 포함된 항목들로 구성 가능한 항목 집합에 대한 계수를 실시하는 것이다. 이를 흔히 원시 알고리즘이라 하는데, 이 알고리즘은 다음과 같이 두 가지 큰 문제점을 안고 있다.

첫 번째 문제점은 많은 양의 계수 공간을 필요로 한다는 점이다. 예를 들어 전체 항목 집합의 크기가 10^4 가 5,000 개라면 약 $2^{5,000}$ 개의 계수 공간이 필요한데 이를 지원할 수 있는 시스템은 흔하지 않다.

두 번째 문제점은 계수 공간이 마련되었다 하더라도 대응되는 계수 자리를 찾기 위해서는 많은 시간이 소요된다.

위와 같은 근본적인 문제점을 해결하고, 보다 나은 성능을 얻기 위해 연관 규칙 탐사 알고리즘은 꾸준히 진화해 왔다. AIS(finding All frequent Item-Sets) 알고리즘 [1]은 탐색을 단계별로 진행하여, 현재까지의 빈도 통계를 적용하여 전 단계의 빈발 항목 집합으로부터 후

보 빈발 항목 집합을 도출하여 다음 단계를 결정함으로써 한꺼번에 필요로 하는 계수 공간을 줄였고, Apriori 알고리즘[2]은 빈도 통계 대신 각 단계별 빈발 항목 집합의 길이를 1, 2, 3, ...과 같이 정확히 1 씩 늘려가면서 후보 빈발 항목 집합을 유도하여 규칙적인 단계로 진행하여 실행 시간을 단축시켰다. DHP(Direct Hash and Pruning) 알고리즘[3]은 직접 해시 테이블(direct hash table)이라는 사전 전지 정보를 활용하여 후보 빈발 항목 집합의 수를 줄임으로써 계수 공간 및 검색 시간을 단축하였을 뿐만 아니라 거래 중에서 빈발이 아닌 항목들을 제거해 나감으로써 다음 단계에서의 DB 크기를 줄였다.

DB 스캔 횟수 측면에서 원시 알고리즘은 단 1 회면 충분하나, AIS, Apriori, DHP 알고리즘은 최대 빈발 항목 집합의 크기 만큼의 DB 스캔 횟수가 필요하기 때문에 소요 기간의 많은 부문이 DB 입·출력에 소비된다.

FP-tree 알고리즘[4]은 지금까지의 알고리즘들이 필요로 했던 여러 번의 DB 스캔 횟수를 단 2 회로 단축 시킴으로써 DB 입·출력 부담을 획기적으로 줄였다.

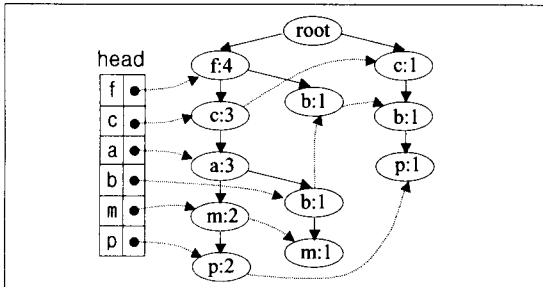
이 알고리즘은 단계 1에서 빈발 항목이 아닌 항목들을 제거하고, 단계 2에서 빈발 항목들로만 구성된 거래들을 모두 FP-tree 구조에 저장한 다음, 단계 3에서 FP-tree로부터 빈발 항목 집합을 유도해낸다.

즉, FP-tree 알고리즘은 DB의 거래 내용을 필터링한 모든 거래 내용을 메모리에 구축한 후 그 곳으로부터 빈발 항목 집합을 추출한다. 따라서, FP-tree 알고리즘은 다른 알고리즘보다 많은 양의 메모리를 필요로 하지만, 전체적인 성능은 우수한 것으로 알려져 있다. 이 논문은 FP-tree 알고리즘을 C 언어로 구현하여 실행하고, 사용 시스템의 메모리 크기에 따라 그 성능이 어떤 추이를 보이는가를 관찰한다.

2. FP-tree 알고리즘의 구현

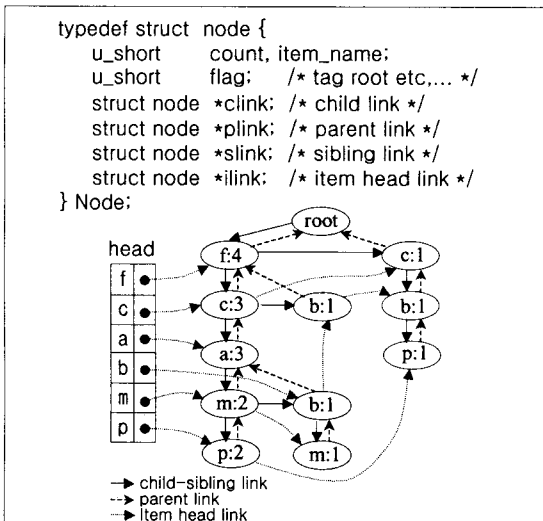
2.1 FP-tree 자료구조

(그림 1)에 [4]에서 제시한 FP-tree 자료구조를 보였다. 이 그림에서 트리의 각 노드는 root로부터 출발하는 트리 고유의 링크(실선)와 header table로부터 출발하는 해당 항목 링크(점선) 등 두 개의 링크를 유지한다.



(그림 1) FP-tree 자료구조

아래의 (그림 2)에는 (그림 1)을 위한 C 언어 코드와 구현된 링크 모습을 보였다. 여기서 sibling link는

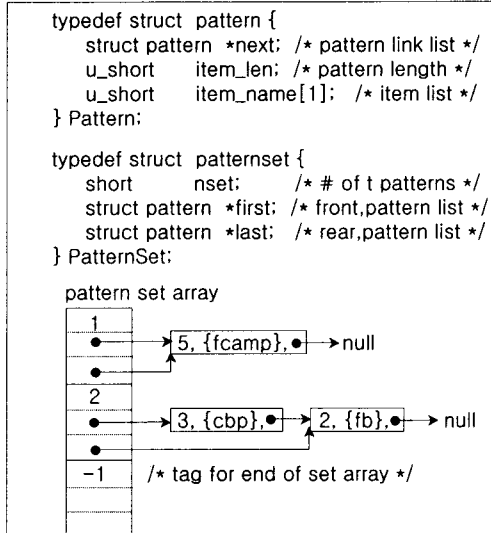


(그림 2) (그림 1)의 FP-tree의 구현 자료구조

보모가 동일한 노드들을 연결하고, child link는 자식 노드들 중 첫 노드를 연결한다. Parent link는 자신의 부모 노드를 연결하고, 따라서 형제 노드들의 parent link는 모두 동일하다.

2.2 패턴과 패턴 집합 자료구조

(그림 3)에 패턴(빈발 항목 집합)을 저장하기 위한 패턴과 패턴 집합의 구현된 자료구조를 보였는데, 이 그림의 패턴 집합 배열은 길이 5인 패턴 {fcamp}, 길이 3인 패턴 {cbp}, 길이 2인 패턴 {fb} 등 총 3개의 패턴을 저장하고 있다.(그림 4)에는 이 자료구조를 바탕으로 구현된 패턴 연산 프로시저 원형을 보였다.



(그림 3) 패턴과 패턴 집합의 구현 자료구조

```
MergePattern(Pattern *fp1, Pattern *fp2) {
    /* 패터 fp1항목들과 패턴 fp2의 항목들을 결합하고,
    중복된 항목은 제거하며, 빈도에 따라 정렬한 후,
    새로운 패턴으로 생성하여 반환함 */
}

InsertPatternToSet(PatternSet *ps,
    Pattern *fp) {
    /* 패터 fp를 패턴집합 ps에 추가함에 추가함 */
}

InsertPatternToSetArray(PatternSet *psarray,
    PatternSet *ps) {
    /* 패턴집합 ps에 있는 모든 패턴들을
    패턴집합 배열 psarray에 추가함 */
}

PatternSet *PatternSetUnion(PatternSet *ps1,
    PatternSet *ps2) {
    /* 두 패턴집합 배열 ps1, ps2를 합친 새로운
    패턴집합 배열을 생성하여 반환함 */
}

PatternSet *PatternSetCross(PatternSet *ps1,
    PatternSet *ps2) {
    /* 두 패턴집합 배열 ps1, ps2에 포함된 양쪽 모든 패
    텐들이 조합된 패턴집합 배열을 생성하여 반환함 */
}
```

(그림 4) 주요 패턴 관련 구현 연산 프로시저

2.3 FP-tree 생성 알고리즘

(그림 5)에는 [4]에서 제시한 “Algorithm 1(*FT-tree construction*) insert()” 알고리즘을 (그림 2)와 (그림 3)에 구현한 자료구조를 바탕으로 구현한 C 코드를 보였다. [4]에서는 표현 $[p|P]$ 즉, 거래의 항목들을 빈도에 따라 정렬한 패턴 중 앞 쪽의 한 항목 p 와 그 나머지 항목들로 구성된 패턴 P 라는 표현을 (그림 5)의 구현 알고리즘에서는 정렬된 전체 패턴 fp에서 ci 번째 항목과 그 이후의 항목들로 표현하였다. 또한 [4]에서는 FP-tree를 단순히 root로 표시하였지만 실제로는 (그림 2)에서 보는 바와 같이 항목 링크를 유지하는 head도 필요하므로 (그림 5)의 구현에서는 head가 추가되었다.

```
insert(Pattern *fp, int ci,
       Node *root, Node *head[])
{
    Node *tp, *np;
    int citem;
    if (ci == fp->len) return;
    else citem = fp->item_name[ci];
    for(tp=NULL, np=root->clink; np != NULL;
        tp=tp, np=np->slink) {
        if (np->item_name == citem) {
            np->count++;
            insert(fp, ci + 1, np, head);
            return;
        }
    }
    np = get_node(); /* allocate a new node */
    np->item_name = citem; np->count = 1;
    if (tp) {tp->slink=np; np->plink=tp->plink; }
    else {rt->clink=np; np->plink=rt; }
    for(tp=NULL, hp=head[citem]; hp != NULL;
        tp=hp, hp=hp->iilink) {
        if (tp) tp->iilink = np;
        else head[citem] = np;
        insert(fp, ci + 1, np, head);
    }
}
```

(그림 5) insert() 알고리즘의 구현

2.4 FP-tree 탐색 알고리즘

FP-tree 탐색 알고리즘은 (그림 5)에서 구축된 FP-tree를 대상으로 모든 빈발 항목 집합(frequent pattern set)을 추출한다. [4]에서 제시한 FP-tree 탐색 알고리즘 “Algorithm 2(Mining frequent patterns) FP_growth()”의 주요 부분을 구현한 내용을 (그림 6)에 보였다. 즉, 이 알고리즘에서의 핵심은 single prefix path 와 multi path 부분을 어떻게 식별할 것인가 하는 문제인데, 이는 (그림 6)에 보인 바와 같이 root 의 직계 자손 중 slink(sibling link)가 없는 노드까지를 설정하면 얻을 수 있다. 이와 같이 얻어진 single prefix path의 끝 노드는 multipath part의 null 노드 역할을 겸하게 되고, 이를 표시하기 위해 해당 노드의 flag를 1로 설정한다. (그림 4)에 보인 PatternSetCross(ps1, ps2) 프로시저는 패턴 집합 ps1, ps2 를 보존하는 반면, PatternSetUnion(ps1,

p2)는 패턴 집합 ps1 과 ps2 를 파괴하고 새로운 패턴 집합을 생성하여 반환한다.

```
PatternSet *FP_growth(Node *root, Node *head[], Pattern *alpha)
{
    Node *sp, *mp;
    PatternSet *P=NULL, *Q=NULL, *R;
    if (!root->clink->slink) { /* single prefix path */
        for(sp=root, mp=sp->clink; mp; mp=mp->clink)
            if (mp->slink)
                break; /* end of single prefix part */
        if (mp) {
            mp = mp->plink; /* null root node for */
            mp->flag = 1; /* multipath part */
        }
        P = grow_single_part(sp, alpha);
        if (mp)
            Q = grow_multi_part(mp, head, alpha);
    } else { /* multipath part only */
        root->flag = 1;
        Q = grow_multi_part(root, head, alpha);
    }
    R = PatternSetCross(P, Q);
    R = PatternSetUnion(R, P);
    R = PatternSetUnion(R, Q);
    return(R);
}
```

(그림 6) FP_growth() 알고리즘의 분리부분 구현

3. FP-tree 알고리즘의 성능 특성 분석

3.1 성능 특성 분석 환경

구현된 FP-tree 알고리즘의 성능을 분석하기 위하여 <표 1>의 시스템을 사용하였고, [5]에서 제공된 시험용 데이터 생성 프로그램을 활용하여 <표 2>의 데이터들을 성능 분석에 사용하였다. 이 때, 데이터는 {거래 길이, 항목 1, 항목 2, ..., 항목 n} 형태의 레코드로 구성된 파일로 구성하였다.

<표 1> 성능 측정 시스템 환경

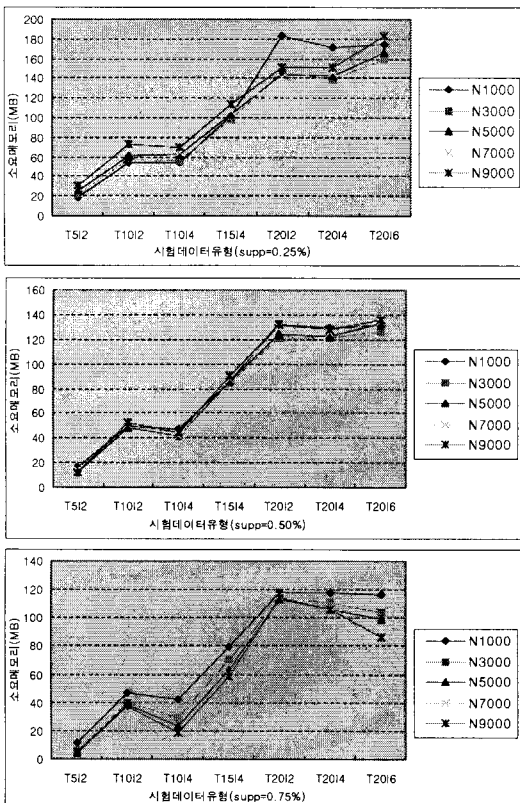
항 목	사 양
모 델	COMPAQ WS au600
C P U	Alpha Ev67 667MHz
메 모 리	1GB/512MB
운 영 체 제	Digital Tru64UNIX 4.0F

<표 2> 시험 데이터의 유형

분류 기준	분류 내용
데이터 특성	T5I2D100, T10I2D100, T10I4D100, T15I4D100, T20I2D100, T20I4D100, T20I6D100
전체 항목 개수(1기)	N1000, N2000, N3000, N5000, N7000, N9000

3.2 성능 특성 측정

(그림 7)에 <표 1>, <표 2>의 환경에서 실시한 FP-tree 알고리즘의 메모리 소요 성능 측정 결과를 보였다. 이 그림으로부터 FP-tree 알고리즘은 대체적으로, 거래의 평균 길이와 빈발 항목 집합의 평균 길이가 길수록 소요 메모리가 급격하게 증가한다는 사실을 알 수 있다. 즉, DB의 크기는 거래의 길이에 따라 어느 정도 증가할 수 밖에 없으나 이를 처리하기 위한 알고리즘의 요구 메모리는 그 보다 훨씬 가파른 메모리 증가율을 보인다는 것이다. 따라서 거래의 길이나 빈발 항목 집합의 길이가 극단적일 경우에는 [4]에서 언급한 바와 같이 B+-tree 구조를 바탕으로 하는 disk-resident FP-tree 개념의 도입이 불가피하고 이는 결국 또 다른 DB 스캔 부담을 유발한다..

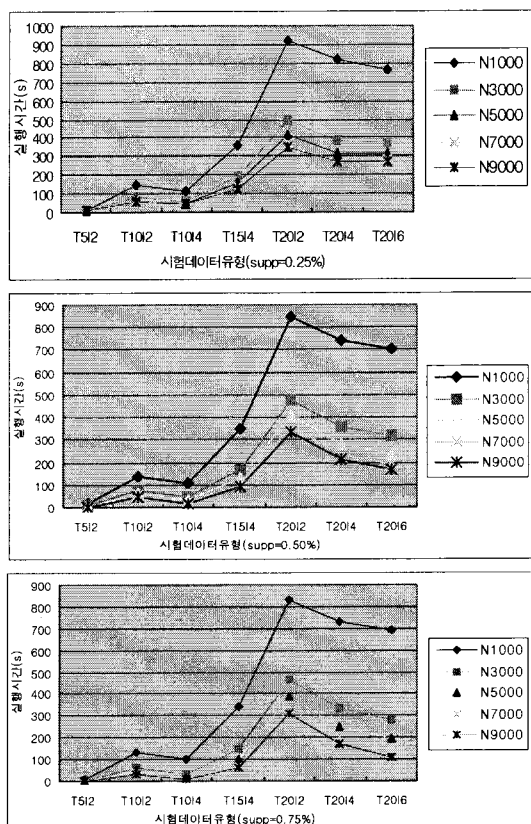


(그림 7) FP-tree 알고리즘의 메모리 성능 특성

(그림 8)에는 (그림 7)과 동일한 데이터에 대한 FP-tree 알고리즘의 실행 시간 성능의 측정 결과를 보였다. 이 그림으로부터 알고리즘의 실행 소요 시간이 요구 메모리와 반드시 비례하지 않음을 알 수 있는데, 이는 (그림 5)에서 작성한 FP-tree 가 어떤 경우에는 효과적이지 못할 수도 있음을 의미한다.

4. 결론

[4]는 *Apriori* 알고리즘에 대한 FP-tree 알고리즘



(그림 8) FP-tree 알고리즘의 실행시간 성능 특성

의 성능이 월등히 우수한 것으로 결론짓고 있으나, 앞에서 보인 (그림 7), (그림 8)에서 그 비교 결과는 메모리 등 처리 시스템의 환경이나 DB의 특성에 따라 달라질 수 있는 가능성이 존재함을 보였다. 즉, 특정 연관 규칙 탐사 알고리즘에게 어떤 상황에서도 적용될 수 있는 절대적 우수성은 주어지지 못할 것이다.

참고문헌

- R. Agrawal, T. Imielinski and A. Swami, "Mining Association Rules between Sets of Items in Large Databases", Proceedings of ACM SIGMOD on Management of Data, pp.207~216, 1993.
- R. Agrawal and R. Srikant, "Fast Algorithms for Mining Association Rules", Proceedings of the 20th International Conference on Very Large Databases, pp.487-499, 1994.
- J. S. Park, M.-S. Chen and P. S. Yu, "An Effective Hash-Based Algorithm for Mining Association Rules", Proceedings of ACM SIGMOD, pp.175-186, 1995.
- Jiawei Han, Jian Pei, and Yihua Yin, "Mining frequent patterns without candidate generation", Proceedings of 2000 ACM SIGMOD Int. Conf. Management of Data(SIGMOD'00), Dallas, TX, pp. 1-12
- R. Agrawal and et al, "Synthetic Data Generation Code for Associations and Sequential Patterns", <http://www.almaden.ibm.com/cs/quest>, 1999.